



UNIVERSITÄTS-  
BIBLIOTHEK  
PADERBORN

## **Die Statik im Stahlbetonbau**

**Beyer, Kurt**

**Berlin [u.a.], 1956**

14. Der einfache Balkenträger

---

[urn:nbn:de:hbz:466:1-74292](https://nbn-resolving.org/urn:nbn:de:hbz:466:1-74292)

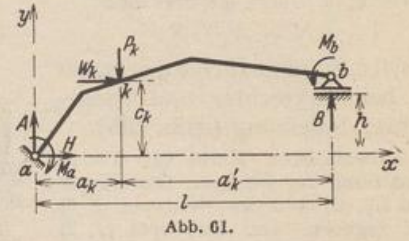
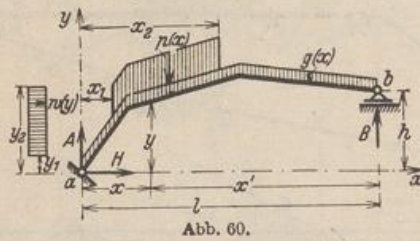
Land, R.: Kinematische Theorie der statisch bestimmten Träger. Z. öst. Ing.- u. Arch.-Ver. Bd. 40 (1888) S. 11 u. 162. — Müller-Breslau, H.: Die graphische Statik der Baukonstruktionen Bd. 1. Leipzig 1905. — Grüning, M.: Die Statik des ebenen Tragwerks. Berlin 1925. — Saliger, R.: Praktische Statik 2. Aufl. Wien 1927. — Mohr, O.: Abhandlungen aus dem Gebiete der Technischen Mechanik 3. Aufl. Berlin 1928. — Beyer, K.: Baustatik. Taschenb. f. Bauing. Bd. I S. 270. Berlin 1928. — Hertwig, A.: Statik der Baukonstruktionen. Handb. physik. u. techn. Mechan. Bd. 4. Leipzig 1929. — Kaufmann, W.: Statik der Tragwerke. Handbibl. f. Bauing. 2. Aufl. Berlin 1930.

### 14. Der einfache Balkenträger.

Ein Stab mit gerader, gebrochener oder gekrümmter Achse wird als Balkenträger bezeichnet, wenn eine senkrechte Belastung nur senkrechte Stützkkräfte hervorruft. Er wird an den Enden aufgelagert oder als Kragträger verwendet.

**Ruhende Belastung.** Eine allgemeine Belastung wird oft mit Vorteil aufgeteilt. Stütz- und Schnittkräfte werden getrennt für jeden Anteil angegeben und nach dem Superpositionsgesetz addiert.

Allgemeiner Ansatz zur Berechnung der Stützkkräfte.



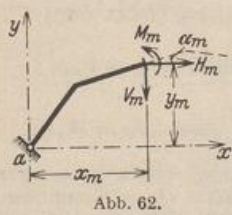
a) Senkrechte Belastung und Stützenmomente (Abb. 60 und 61):

$$\left. \begin{aligned} A_1 &= \frac{M_b - M_a}{l} + \frac{1}{l} \int_0^l g(x) x' dx + \frac{1}{l} \sum_{k=1}^{k=n} P_k a'_k + \frac{1}{l} \int_{x_1}^{x_2} p(x) x' dx, \\ B_1 &= \frac{M_a - M_b}{l} + \frac{1}{l} \int_0^l g(x) x dx + \frac{1}{l} \sum_{k=1}^{k=n} P_k a_k + \frac{1}{l} \int_{x_1}^{x_2} p(x) x dx. \end{aligned} \right\} H = 0 \quad (105)$$

b) Waagerechte Belastung (Abb. 60 und 61):

$$B_2 = \frac{1}{l} \sum_{k=1}^{k=n} W_k c_k + \frac{1}{l} \int_{y_1}^{y_2} w(y) y dy = -A_2, \quad H = - \left( \sum_{k=1}^{k=n} W_k + \int_{y_1}^{y_2} w(y) dy \right).$$

Allgemeiner Ansatz für die Berechnung der Schnittkräfte (Abb. 62).



$$\left. \begin{aligned} A &= A_1 + A_2, & B &= B_1 + B_2, \\ V_m &= A - \int_0^{x_m} g(x) dx - \sum_{k=1}^{k=r} P_k - \int_{x_1}^{x_m} p(x) dx; \\ H_m &= - \left( H + \sum_{k=1}^{k=s} W_k + \int_{y_1}^{y_m} w(y) dy \right); \\ Q_m &= H_m \sin \alpha_m + V_m \cos \alpha_m; \\ N_m &= H_m \cos \alpha_m - V_m \sin \alpha_m; \\ M_m &= A x_m - \int_0^{x_m} g(x) (x_m - x) dx - \sum_{k=1}^{k=r} P_k (x_m - a_k) - \int_{x_1}^{x_m} p(x) (x_m - x) dx \\ &\quad - H y_m - \sum_{k=1}^{k=s} W_k (y_m - c_k) - \int_{y_1}^{y_m} w(y) (y_m - y) dy + M_a. \end{aligned} \right\} (106)$$

Der Ansatz besitzt in dieser Form nur grundsätzliche Bedeutung. Die Schnittkräfte werden besser nach den Angaben auf S. 42 berechnet. Hierbei ergeben sich zunächst die Querkräfte  $Q_m$  und bei geneigter oder gekrümmter Stabachse deren Komponenten  $V_m$  und  $H_m$ . Damit können die Biegemomente  $M_m$  nach (86) oder (88) gebildet und unter Umständen durch die Momente  $M_r$  für die Anschlußquerschnitte der Zwischenkonstruktion nach (89) ergänzt werden. Sind die Streckenlasten  $g(x)$ ,  $p(x)$ ,  $w(y)$  nicht einfach zu integrierende Funktionen, so wird die stetige Belastung nach S. 44 durch eine annähernd äquivalente Gruppe von Einzellasten ersetzt. Querkraft und Moment sind bei gerader Stabachse in den Abschnitten zwischen den Einzellasten nach (86) gerade Linien oder Parabelabschnitte. Der Größtwert des Momentes entsteht nach S. 42 in demjenigen Querschnitt, in welchem die Querkraft Null ist oder ihr Vorzeichen wechselt. Die Tabellen 6 und 7 geben die Schnittkräfte für zahlreiche Belastungsannahmen an.

Die Stütz- und Schnittkräfte können auch zeichnerisch mit Kraft- und Seileck bestimmt werden. Bei der Einfachheit der Aufgabe liegt jedoch kein Grund vor, die Rechnung durch die Zeichnung zu ersetzen.

**Einflußlinien.** Die Grenzwerte der Stütz- und Schnittkräfte setzen sich aus den Anteilen zusammen, die aus der ruhenden Belastung, also im wesentlichen durch Eigengewicht, und aus der ungünstigsten Stellung der beweglichen Belastung erhalten werden. Diese ist in der Regel durch Einflußlinien bestimmt, die nach Abschn. 13 als Funktion der Einflußgröße oder kinematisch als Verschiebungsplan des Lastgurtes entwickelt werden.

Einflußlinien der Stützenwiderstände und Schnittkräfte des einfachen Balkenträgers.

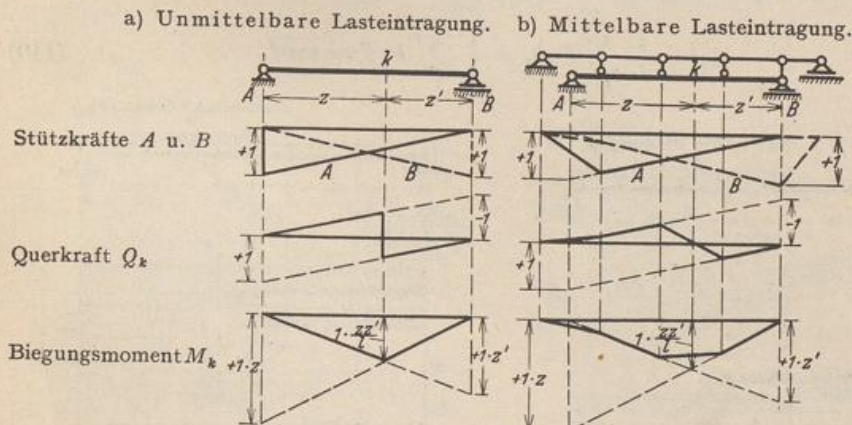


Abb. 63.

**Die Grenzwerte der Querkraft.** a) Gleichgroße, unmittelbare Streckenbelastung  $p$ . Durch Belastung des positiven oder negativen Bereichs der Einflußlinie wird (Abb. 64)

$$\left. \begin{aligned} \max Q_{mv} &= +p \frac{x'_m{}^2}{2l} = +\frac{pl}{2} \xi'^2, \\ \min Q_{mv} &= -p \frac{x_m^2}{2l} = -\frac{pl}{2} \xi^2. \end{aligned} \right\} \quad (107)$$

b) Gleichgroße mittelbare Streckenbelastung  $p$  (Abb. 65, 66).

$$\max Q_{mv} = +p \frac{x'_m e'_m}{2l}; \quad \min Q_{mv} = -p \frac{(x_m - c_m) e_m}{2l}. \quad (108)$$

Der Grenzwert der Querkraft ist nach der Einflußlinie für alle Schnitte zwischen

zwei Querträgern konstant. Lastscheide und Grenzwerte werden graphisch bestimmt.

$$\overline{m m'} = \frac{p l}{2} \frac{x'_m}{l}, \quad \overline{E_m E'_m} = \overline{m m'} \frac{e'_m}{l} = \max Q_{m p} \quad (\text{Abb. 65}).$$

Bei gleichem Abstand der Querträger nach Abb. 66 wird

$$e'_m = \frac{x'_m l}{l-c}, \quad \max Q_{m p} = + p \frac{x'_m{}^2}{2(l-c)} = \overline{m m'}, \quad \min Q_{m p} = - p \frac{(x_m - c)^2}{2(l-c)} = \overline{m m'}. \quad (109)$$

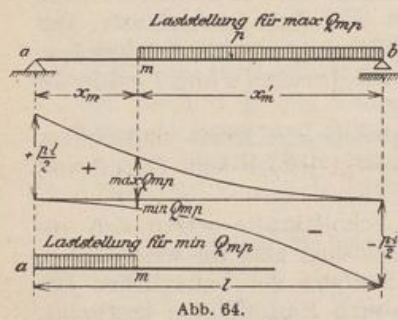


Abb. 64.

Die jedem Felde zugeordneten Grenzwerte der Querkraft sind Ordinaten einer Parabel mit dem ausgezeichneten Werte  $p \frac{l-c}{2}$  für  $x'_m = (l-c)$  (Abb. 66).

c) Unmittelbare Belastung durch einen Zug von Einzellasten.

Die größte Querkraft  $Q_m$  wird nach der Einflußlinie bei Grundstellung des Lastenzuges zum Querschnitt  $m$  für Linksfahrt erhalten (erste Last über dem Querschnitt  $m$ , Abb. 67b). Der negative Grenzwert ergibt sich ebenso bei Rechtsfahrt:

$$\max Q_m = A_m; \quad \min Q_m = -B_m.$$

Die Grenzwerte von  $\max Q_m$  sind Ordinaten einer Schaulinie, in welcher der Stützdruck  $A_m$  für eine beliebige Stellung des Lastenzuges über dem Angriffspunkt der ersten Last  $P_1$  aufgetragen wird ( $A_m$ -Polygon). Der Betrag

$$A_m = \frac{1}{l} \sum_1^m P_i b_i = \frac{1}{l} \sum_1^m P_i b'_i = \overline{m m'} \quad (110)$$

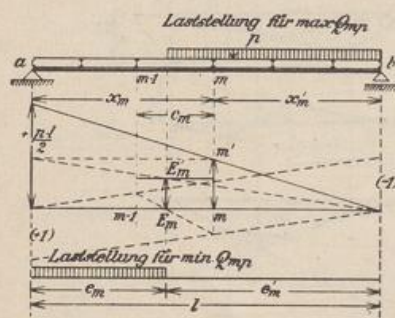


Abb. 65. Entfernung der Querträger beliebig.

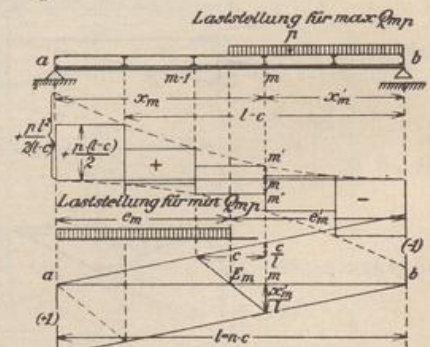


Abb. 66. Entfernung der Querträger konstant.

wird graphisch als Ordinate eines Seilecks zu dem in umgekehrter Fahrtrichtung stehenden Lastenzug ( $P_1$  in  $b$ ) bestimmt (Abb. 67c). Polweite  $H$  des Kräftecks ist dann eine Strecke gleich der Stützweite  $l$  des Trägers im Maßstab des Lageplans.

Ist das statische Moment der Lasten  $P_1, \dots, P_k$  in bezug auf die Last  $k$   $\sum_{i=1}^{i=k} P_i b_{ik} = \mathcal{E}_k$  durch Tabellen bekannt, so werden die Ordinaten

$$\overline{k k'} = A_k = \mathcal{E}_k / l. \quad (111)$$

d) Mittelbare Belastung durch einen Zug von Einzellasten (Abb. 68).

Die größte Querkraft  $Q_m$  entsteht nach der Einflußlinie (Abb. 65) entweder bei Grundstellung des Lastenzuges zum Querträger  $m$  oder nach Überschreitung der

Grundstellung bis zur zweiten, dritten oder rten Last über Querträger m. In der ungünstigsten Stellung ist nach (102)

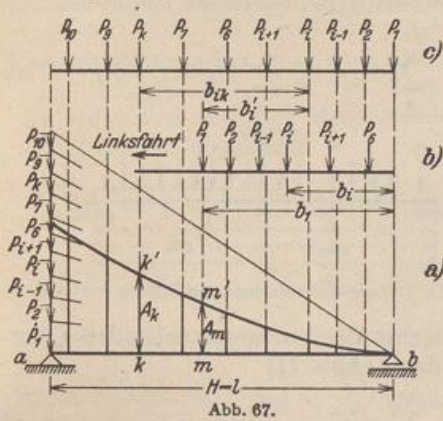


Abb. 67.

$$\left. \begin{aligned} & \mathfrak{P}_{r-1} < \frac{c_m}{l} \mathfrak{P}_n < \mathfrak{P}_r; \\ & \mathfrak{P}_n = \sum_1^n P_i, \quad \mathfrak{P}_r = \sum_1^r P_i, \\ & \max Q_m = \frac{1}{l} \sum_1^n P_i b_i - \frac{1}{c_m} \sum_1^r P_i b_{ir}. \end{aligned} \right\} (112)$$

$$\max Q_m = \frac{1}{l} \sum_1^n P_i b_i - \frac{1}{c_m} \sum_1^r P_i b_{ir}. \quad (113)$$

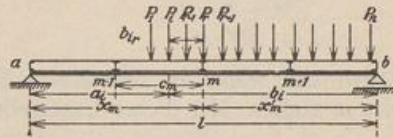


Abb. 68. Stellung des Lastenzuges zur Bildung von max Qm.

Der bis zur Last P2 vorgezogene Lastenzug liefert also die größte Querkraft im Felde, wenn

$$\left. \begin{aligned} & \frac{l}{c_m} P_1 < \mathfrak{P}_n \quad \text{und} \quad \frac{l}{c_m} (P_1 + P_2) > \mathfrak{P}_n, \\ & \max Q_m = \frac{1}{l} \sum_1^n P_i b_i - \frac{1}{c_m} P_1 b_{12}. \end{aligned} \right\} (114)$$

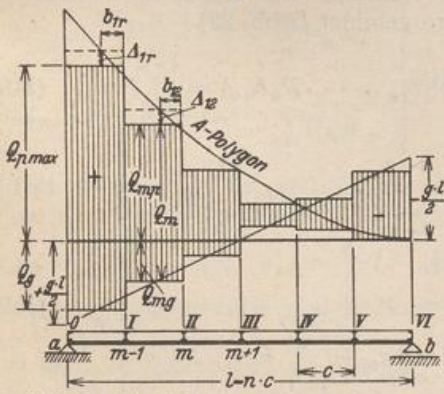


Abb. 69a. Schaubild für max Qm aus Eigengewicht und einem Lastenzug als Verkehrslast.

$$\max Q_m = Q_{mg} + A_p - \Delta_{1r}, \quad \Delta_{1r} = \sum_1^r \frac{P_i b_{ir}}{c_m}.$$

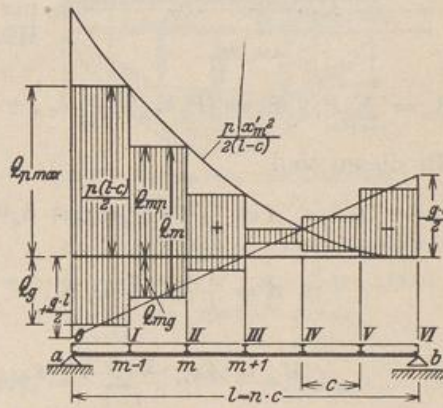


Abb. 69b. Schaubild für max Qm aus Eigengewicht und gleichförmig verteilter Nutzlast.

$$\max Q_m = Q_{mg} + \frac{p x_m^2}{2(l-c)}.$$

**Die Grenzwerte der Biegemomente.** Die Einflußlinie (Abb. 63) hat nur einen positiven Bereich, das Moment also nur einen positiven Grenzwert.

a) Gleichgroße Streckenbelastung p (Abb. 70).

Bei unmittelbarer Lasteintragung ist

$$\max M_{mp} = p \frac{x x'}{2} = \frac{p l^2}{2} \left( \frac{x}{l} - \frac{x^2}{l^2} \right) = \frac{p l^2}{2} \omega_R. \quad (115)$$

Bei mittelbarer Lasteintragung sind die Grenzwerte der Momente an den Anschlußquerschnitten durch die gleiche Funktion bestimmt. Dazwischen ist die Schaubild für max Mmp geradlinig.

b) Lastenzug bei mittelbarer Eintragung (Abb. 71).

Die Einflußlinie des Moments an den Anschlußquerschnitten ist in der Regel ein Dreieck. Die ungünstigste Laststellung wird daher nach (102) durch die Ungleichungen

$$\sum_k^{r-1} P_i < \frac{x_m}{l} \sum_k^n P_i < \sum_k^r P_i \quad (116)$$

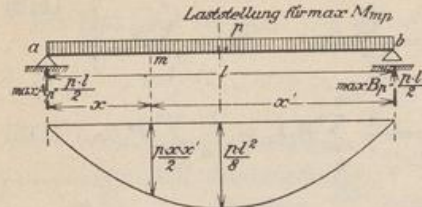


Abb. 70.

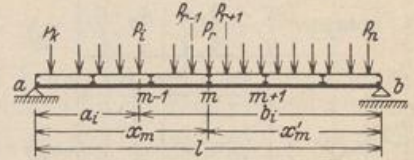


Abb. 71. Stellung des Lastenzuges zur Bildung von max Mm.

nachgewiesen, wenn die schwersten Lasten nächst dem zu untersuchenden Querschnitt  $m$  stehen. Mit dieser Laststellung ist dann (Abb. 71)

$$\max M_m = \frac{x_m}{l} \sum_k^n P_i b_i - \sum_k^r P_i (x_m - a_i). \quad (117)$$

Zwischen den Anschlußquerschnitten kann  $\max M_m$  mit guter Annäherung geradlinig angenommen werden.

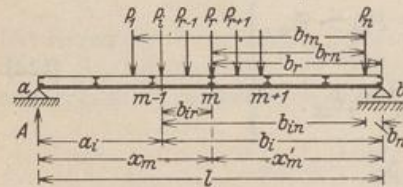


Abb. 72.

Um die Berechnung der Schnittkräfte für bekannte Lastenzüge zu erleichtern, deren erste Last  $P_1$  bei Linksfahrt den linken Stützpunkt des Trägers nicht überschreitet, werden zwei nur von Achslast und Achsstand abhängige Hilfswerte gebildet (Abb. 72).

$$\mathfrak{P}_n = \sum_{i=1}^{i=n} P_i, \quad \mathfrak{S}_n = (P_1 b_{1n} + P_2 b_{2n} + \dots + P_i b_{in} + \dots + P_n b_{nn}) = \sum_{i=1}^{i=n} P_i b_{in}. \quad (118)$$

Mit diesen sind

$$\left. \begin{aligned} A &= \frac{1}{l} \sum_{i=1}^{i=n} P_i (b_{in} + b_n) = \frac{1}{l} \left( \sum_{i=1}^{i=n} P_i b_{in} + b_n \sum_{i=1}^{i=n} P_i \right), \\ A &= \frac{1}{l} (\mathfrak{S}_n + \mathfrak{P}_n b_n), \\ M_m &= A x_m - \sum_{i=1}^{i=r} P_i (x_m - a_i) = A x_m - \sum_{i=1}^{i=r} P_i b_{ir}, \\ M_m &= \frac{x_m}{l} (\mathfrak{S}_n + \mathfrak{P}_n b_n) - \mathfrak{S}_r. \end{aligned} \right\} \quad (119)$$

Die Funktionen  $\mathfrak{S}_n$  und  $\mathfrak{P}_n$  der Lastenzüge  $N$ ,  $E$  und  $G$  der Reichsbahn sind in den Taschenbüchern enthalten. Sie lassen sich leicht auch für andere Lastenzüge zur Berechnung von Straßen- und Eisenbahnbrücken angeben. Nach den Reichsbahnvorschriften genügen aber bei einfachen Balkenbrücken bereits Näherungswerte für  $\max M_p$  nach besonderer Anweisung.

c) Lastenzug bei unmittelbarer Eintragung (Abb. 73a).

Die größten Biegemomente können für beliebig viele Querschnitte ebenso wie für die Anschlußquerschnitte des Trägers bei mittelbarer Lasteintragung berechnet werden. Bleibt jedoch die Summe  $R'$  aller auf dem Träger ruhenden Lasten bei Verschiebung des Zuges unverändert, so läßt sich das vollständige Ergebnis einfacher angeben.

Zwei ausgezeichnete Querschnitte  $k$  und  $r$  links und rechts von der Resultierenden werden nach dem Index der ihnen zugeordneten Lasten  $P_k$  und  $P_r$  bezeichnet. Die Abstände der Lasten  $P_1 \dots P_m \dots P_{k-1}$  von der Last  $P_k$  sind  $e_{km}$ , ihre Abstände von der Resultierenden  $u_m$ . Die Abstände der Lasten  $P_n \dots P_m \dots P_{r+1}$  von der Last  $P_r$  werden  $e'_{rm}$ , die Abstände von der Resultierenden  $u'_m$  genannt. Außerdem ist abgekürzt

$$\left. \begin{aligned} \sum_1^k P_m &= \mathfrak{P}_k, & \sum_1^k P_m u_m &= \mathfrak{S}_k, \\ \sum_n^r P_m &= \mathfrak{P}'_r, & \sum_n^r P_m u'_m &= \mathfrak{S}'_r. \end{aligned} \right\} \quad (120)$$

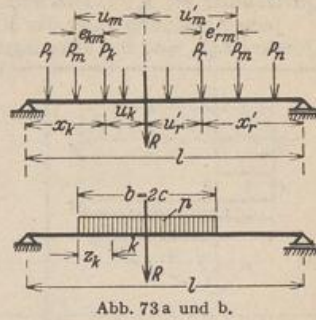


Abb. 73 a und b.

Die Momente  $M_k$  und  $M_r$  können dann folgendermaßen angeschrieben werden:

$$\left. \begin{aligned} M_k &= \frac{R x_k}{l} (l - u_k - x_k) - \sum_1^k P_m e_{km}, & M_r &= \frac{R x'_r}{l} (l - u'_r - x'_r) - \sum_n^r P_m e'_{rm}, \\ \text{oder} & & M_k &= \frac{R x_k (l - x_k)}{l} - \frac{R x_k}{l} u_k - \sum_1^k P_m e_{km}. \end{aligned} \right\} \quad (121)$$

Das Moment ist nach (116) ein Grenzwert zwischen

$$x_{k1} = \frac{\mathfrak{P}_{k-1}}{R} l \quad \text{und} \quad x_{k2} = \frac{\mathfrak{P}_k}{R} l. \quad (122)$$

Für diese Querschnitte ist dann mit (122)

$$\left. \begin{aligned} M_{k1} &= \frac{R x_{k1} (l - x_{k1})}{l} - \sum_1^{k-1} P_m u_m, \\ M_{k2} &= \frac{R x_{k2} (l - x_{k2})}{l} - \sum_1^k P_m u_m. \end{aligned} \right\} \quad (123)$$

Das Moment ist im rechten Bereiche nach (116) ein Grenzwert zwischen

$$x'_{r1} = \frac{\mathfrak{P}'_{r+1}}{R} l \quad \text{und} \quad x'_{r2} = \frac{\mathfrak{P}'_r}{R} l. \quad (124)$$

Für diese Querschnitte sind die Momente

$$M'_{r1} = \frac{R x'_{r1} (l - x'_{r1})}{l} - \sum_n^{r+1} P_m u'_m, \quad M'_{r2} = \frac{R x'_{r2} (l - x'_{r2})}{l} - \sum_n^r P_m u'_m. \quad (125)$$

Der erste Anteil ist die Ordinate einer Parabel mit  $\frac{1}{4} R l$  als Pfeilhöhe. Der zweite Anteil ist ein Geradenzug, dessen Eckpunkte die Abszissen  $x_{k2}$  und  $x'_{r2}$  und die Ordinaten  $\mathfrak{S}_k$  und  $\mathfrak{S}'_k$  erhalten.

Das Ergebnis kann auch auf eine begrenzte, gleich große Streckenlast übertragen werden (Abb. 73b).

$$\left. \begin{aligned} R = p b = 2 p c; & \quad P = p d z, & x_k &= \frac{\mathfrak{P}_k}{R} l = \frac{z_k l}{b}, & \sum_1^k P_m u_m &= \frac{p b c x_k x'_k}{l^2}, \\ \max M_k &= \frac{p b}{l} x_k x'_k \left(1 - \frac{c}{l}\right) & &= 2 p c l \left(1 - \frac{c}{l}\right) \omega_R. \end{aligned} \right\} \quad (126)$$

Das Diagramm der Grenzwerte ist eine Parabel für die Belastung  $4 p \frac{c}{l} \left(1 - \frac{c}{l}\right)$ .

Domke, O.: Theorie des Eisenbetons. Handb. f. Eisenbetonbau Bd. 1, 4. Aufl. S. 391. Berlin 1930. — Beyer, K.: Baustatik. Taschenb. f. Bauing. Bd. 1 S. 270. Berlin 1928.

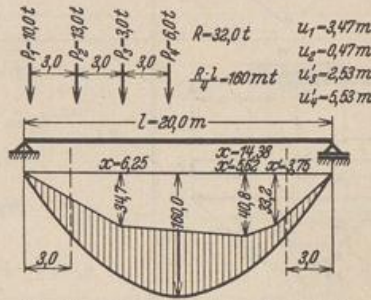


Abb. 74. Untersuchung einer Kranbrücke.

$$\begin{aligned} k=2: & \quad x_{21} = x_{12} = 6,25 \text{ m}, & x_{22} &= \frac{10 + 13}{32} 20 = 14,38 \text{ m} \\ & \quad \mathfrak{S}_2 = 10 \cdot 3,47 + 13 \cdot 0,47 = 34,68 + 6,08 = 40,8 \text{ mt.} \\ r=3: & \quad x'_{31} = \frac{6}{32} 20 = 3,75 \text{ m}, & x'_{32} &= \frac{9}{32} 20 = 5,62 \text{ m.} \\ & \quad \mathfrak{S}'_3 = 3,0 \cdot 2,53 + 6,0 \cdot 5,53 = 40,8 \text{ mt.} \end{aligned}$$

Tabelle 6. Balken auf zwei Stützen.

$l$ : Stützweite,  $\xi = x/l$ ,  $\xi' = x'/l$ ;  $A, B$ : Stützkräfte;  $Q_m$ : Querkraft;  $M_m$ : Biegemoment im Querschnitt  $m$ ;  $x_0$ : Querschnitt mit dem größten Biegemoment  $M_{\max}$ .

Jede Abbildung zeigt der Reihe nach die Art der Belastung und die Zustandslinien für die Querkraft  $Q_m$  und das Biegemoment  $M_m$ .

	$A = \frac{Pb}{l} \quad B = \frac{Pa}{l} \quad Q_1 = +\frac{Pb}{l} \quad Q_2 = -\frac{Pa}{l}$ $M_1 = Pb\xi \quad M_2 = Pa\xi'$ $x_0 = a \quad M_{\max} = \frac{Pab}{l}$
	$A = \frac{pl}{2} \quad B = \frac{pl}{2} \quad Q = \frac{pl}{2}(1 - 2\xi)$ $M = \frac{pl^2}{2}\omega_R$ $x_0 = \frac{l}{2} \quad M_{\max} = \frac{pl^2}{8} = 0,125pl^2$
	$A = \frac{pc}{2l}(2n+c) \quad B = \frac{pc}{2l}(2m+c)$ $Q_1 = A \quad Q_2 = A - p(x-m) \quad Q_3 = -B$ $M_I = Am \quad M_{II} = Bn \quad M_1 = Ax$ $M_2 = M_I \frac{x}{m} - p \frac{(x-m)^2}{2} \quad M_3 = Bx'$ $x_0 = m + \frac{c}{2l}(2n+c) = m + \frac{A}{p} \quad M_{\max} = M_I + \frac{A^2}{2p}$
	$A = \frac{pc}{2l}(2n+c) \quad B = \frac{pc^2}{2l}$ $Q_1 = A - px \quad Q_2 = -B$ $M_I = Bn \quad M_1 = M_I \frac{x}{c} + \frac{pc^2}{2}\omega_R^{(c)}$ $M_2 = M_I \frac{x'}{n}$ $x_0 = \frac{A}{p} \quad M_{\max} = \frac{A^2}{2p}$
	$A = p_1c_1 - R \quad B = p_2c_2 + R \quad R = \frac{p_1c_1^2 - p_2c_2^2}{2l}$ $Q_1 = A - p_1x \quad Q_2 = -R \quad Q_3 = -B + p_2x'$ $M_I = \frac{p_1c_1^2}{2} - Rc_1 \quad M_{II} = \frac{p_2c_2^2}{2} + Rc_2$ $M_1 = M_I \frac{x}{c_1} + \frac{p_1c_1^2}{2}\omega_R^{(c_1)}; \quad M_2 = \frac{p_1c_1^2}{2} - Rx; \quad M_3 = M_{II} \frac{x'}{c_2} + \frac{p_2c_2^2}{2}\omega_R^{(c_2)}$ $\frac{p_1}{p_2} > \frac{c_2^2}{c_1^2}: \quad x_0 = \frac{A}{p_1} \quad M_{\max} = \frac{A^2}{2p_1}$ $\frac{p_1}{p_2} < \frac{c_2^2}{c_1^2}: \quad x'_0 = \frac{B}{p_2} \quad M'_{\max} = \frac{B^2}{2p_2}$

\*  $\omega_R^{(c)}$  und  $\omega_D^{(c)}$  nach Tab. 22 für das Intervall  $0 \leq \frac{x}{c} \leq 1$ .

Tabelle 6 (Fortsetzung)

	$A = B = pc \quad Q_1 = A - px$ $M_I = \frac{pc^2}{2} \quad M_1 = M_I \frac{x}{c} + \frac{pc^2}{2} \omega_R^{(c)} \quad M_2 = M_I$ $c \leq x_0 \leq c + m \quad M_{\max} = M_I$
	$A = B = pc \quad Q_1 = A \quad Q_2 = A - p(x - n)$ $M_I = pcn \quad M_{II} = \frac{pc^2}{2} \left(1 + 2 \frac{n}{c}\right)$ $M_1 = pcx \quad M_2 = \frac{pc^2}{2} \left(\frac{n+x}{c} + \omega_R^{(c)}\right) \quad M_3 = M_{II}$ $n + c \leq x_0 \leq n + c + m \quad M_{\max} = M_{II}$
	$A = \frac{pl}{6} \quad B = \frac{pl}{3} \quad Q = -\frac{pl}{6} \omega_M$ $M = \frac{pl^2}{6} \omega_D$ $x_0 = \frac{l}{\sqrt{3}} = 0,5774l \quad M_{\max} = \frac{pl^2}{9\sqrt{3}} = 0,06415 pl^2$
	$A = \frac{2p_1 + p_2}{6} l \quad B = \frac{p_1 + 2p_2}{6} l$ $Q = A - \frac{p_1 + p_2}{2} l \xi - \frac{p_1 - p_2}{2} l \omega_R$ $M = \frac{l^2}{2} p_1 \omega_R - (p_1 - p_2) \frac{l^2}{6} \omega_D = \frac{p_1 l^2}{6} \left(\omega_D' + \frac{p_2}{p_1} \omega_D\right)$ $x_0 = \frac{1 - \nu}{1 - \mu} l \quad \nu = \sqrt{\frac{p_1^2 + p_1 p_2 + p_2^2}{3 p_1^2}} \quad \mu = \frac{p_2}{p_1}$ $M_{\max} = \frac{p_1 l^2}{6} \cdot \frac{2\nu^3 - \mu(1 + \mu)}{(1 - \mu)^2}$
	$A = \frac{pc}{6} \left(3 - 2 \frac{c}{l}\right) \quad B = \frac{pc^2}{3l}$ $Q_1 = A - \frac{pc}{2} \frac{x^2}{c^2} \quad Q_2 = -\frac{pc^2}{3l}$ $M_I = \frac{pc^2}{3l} n \quad M_1 = M_I \frac{x}{c} + \frac{pc^2}{6} \omega_D^{(c)} \quad M_2 = M_I \frac{x'}{n}$ $x_0 = c \sqrt{\frac{A}{pc/2}} = c \sqrt{1 - \frac{2}{3} \frac{c}{l}} \quad M_{\max} = \frac{2}{3} A x_0 = \frac{p x_0^3}{3c}$

Tabelle 6 (Fortsetzung).

	$A = \frac{pc^2}{6l} \quad B = \frac{pc}{6} \left( 3 - \frac{c}{l} \right)$ $Q_1 = \frac{pc^2}{6l} \quad Q_2 = A - \frac{pc}{2} \left( \frac{x-m}{c} \right)^2$ $M_I = \frac{pc^2}{6l} m \quad M_1 = M_I \frac{x}{m} \quad M_2 = M_I \frac{x'}{c} + \frac{pc^2}{6} \omega_D^{(c)}$ $x_0 = m + c \sqrt{\frac{c}{3l}} \quad M_{\max} = \frac{pc^2}{6l} \left( m + \frac{2}{3} c \sqrt{\frac{c}{3l}} \right) = A \left( x_0 - \frac{c}{3} \sqrt{\frac{c}{3l}} \right)$
	$A = \frac{pc}{2} \frac{b}{l} \quad B = \frac{pc}{2} \frac{a}{l}$ $Q_1 = \frac{pc}{2} \frac{b}{l} \quad Q_2 = A - \frac{p(x-m)}{2} + \frac{pc}{2} \omega_D^{(c)} \quad Q_3 = -\frac{pc}{2} \frac{a}{l}$ $M_I = \frac{pc}{2} \frac{b}{l} m \quad M_{II} = \frac{pc}{2} \frac{a}{l} n$ $M_1 = M_I \frac{x}{m} \quad M_2 = A x - \frac{pc^2}{6} \left( \frac{x-m}{c} \right)^3 \quad M_3 = M_{II} \frac{x'}{n}$ $x_0 = m + c \sqrt{\frac{A}{pc/2}} \quad M_{\max} = \frac{A}{3} (2x_0 + m)$
	$A = \frac{p(l+c_2)}{6} \quad B = \frac{p(l+c_1)}{6}$ $Q_I = p \frac{c_2 - c_1}{3} \quad Q_1 = A - \frac{pc_1}{2} \frac{x^2}{c_1^2} \quad Q_2 = -B + \frac{pc_2}{2} \frac{x'^2}{c_2^2}$ $M_I = p \frac{c_1 c_2}{3} \quad M_1 = \frac{pc_2}{3} x + p \frac{c_1^2}{6} \omega_D^{(c_1)} \quad M_2 = \frac{pc_1}{3} x' + \frac{pc_2^2}{6} \omega_D^{(c_2)}$ $c_1 > c_2: \quad x_0 = c_1 \sqrt{\frac{A}{pc_1/2}} = \sqrt{\frac{c_1(l+c_2)}{3}} \quad M_{\max} = \frac{2}{3} A x_0$ $c_1 < c_2: \quad x'_0 = c_2 \sqrt{\frac{B}{pc_2/2}} = \sqrt{\frac{c_2(l+c_1)}{3}} \quad M'_{\max} = \frac{2}{3} B x'_0$
	$A = \frac{pl}{2} - \frac{\Delta M}{l} \quad B = \frac{pl}{2} + \frac{\Delta M}{l} \quad Q = \frac{pl}{2} \left( 1 - 2 \frac{x}{l} \right) - \frac{\Delta M}{l}$ $M = \frac{pl^2}{2} \omega_R - \Delta M \frac{x}{l} - M_a \quad M_0 = \frac{pl^2}{8}$ $x_0 = \frac{l}{2} - \frac{\Delta M}{pl} \quad M = 0 \quad \text{für } x = x_0 \pm \sqrt{x_0^2 - \frac{2M_a}{p}}$ $M_{\max} = \frac{px_0^2}{2} - M_a = \frac{pl^2}{8} - \frac{M_a + M_b}{2} + \frac{\Delta M^2}{2pl^2}$
	$A = \frac{pl}{3} \quad B = \frac{pl}{3} \quad Q = \frac{pl}{3} (1 - 6\xi^2 + 4\xi^3)$ $M = \frac{pl^2}{3} (\xi - 2\xi^3 + \xi^4) = \frac{pl^2}{3} \omega''_p$ $x_0 = \frac{l}{2} \quad M_{\max} = \frac{5}{48} pl^2 = 0.1042 pl^2$

Tabelle 6 (Fortsetzung).

	$A = \frac{pl}{12} \quad B = \frac{pl}{4} \quad Q = \frac{pl}{12}(1 - 4\xi^3)$ $M = \frac{pl^2}{12}\omega_P \quad \omega_P = \xi - \xi^4$ $x_0 = \frac{l}{2}\sqrt[3]{2} = 0,6300l \quad M_{\max} = \frac{pl}{16}x_0 = 0,03935pl^2$
	$A = B = \frac{p(a+c)}{2} \quad Q_I = \frac{pc}{2}$ $Q_1 = A - \frac{pa}{2} \frac{x^2}{a^2} \quad Q_2 = Q_I - p(x-a)$ $M_I = \frac{pl^2}{6} \frac{a}{l} \left(3 - 4 \frac{a}{l}\right) \quad M_{II} = \frac{pl^2}{24} \left(3 - 4 \frac{a^2}{l^2}\right)$ $M_1 = Ax - \frac{pa^2}{6} \left(\frac{x}{a}\right)^3 \quad M_2 = M_I + \frac{pc^2}{2} \omega_R^{(c)}$ $x_0 = \frac{l}{2} \quad M_{\max} = M_{II}$
	$A = B = \frac{pl}{4} \quad Q_I = \frac{pl}{6} \quad Q_{II} = \frac{pl}{12} \quad Q_1 = \frac{pl}{4}(1 - 12\xi^2)$ $Q_2 = \frac{pl}{12}[1 + 4(1 - 3\xi)^2] \quad Q_3 = \frac{pl}{12}[1 - 4(1 - 3\xi)^2]$ $M_I = \frac{pl^2}{27} \quad M_{II} = \frac{pl^2}{18} \quad M_{III} = \frac{7}{108}pl^2$ $M_1 = \frac{pl^2}{4} \xi(1 - 4\xi^2) \quad M_2 = \frac{pl^2}{108}[-1 + 9\xi(5 - 12\omega_R)]$ $M_3 = \frac{pl^2}{108}[7 - 27\xi(1 - 4\omega_R)] \quad x_0 = l/2 \quad M_{\max} = M_{III}$
	$A = B = \frac{pc}{2} \quad Q_1 = \frac{pc}{2} \quad Q_2 = A - \frac{pc}{2} \left(\frac{x-n}{c}\right)^2$ $M_I = \frac{pcn}{2} \quad M_{II} = \frac{pc^2}{12} \left(3 \frac{l}{c} - 2\right)$ $M_1 = \frac{pcx}{2} \quad M_2 = Ax - \frac{pc^2}{6} \left(\frac{x-n}{c}\right)^3$ $x_0 = \frac{l}{2} \quad M_{\max} = M_{II}$
	$A = B = \frac{pl}{4} \quad Q_I = \frac{pl}{8}$ $Q_1 = \frac{pl}{4}(1 - 8\xi^2) \quad Q_2 = \frac{pl}{2}(1 - 2\xi)^2$ $M_I = \frac{5}{96}pl^2 \quad M_{II} = \frac{pl^2}{16} \quad M_1 = \frac{pl^2}{2}(1 - 8\xi^2)\xi$ $M_2 = \frac{pl^2}{48}[3 - 4(1 - 2\xi)^2] \quad x_0 = \frac{l}{2} \quad M_{\max} = M_{II}$

Tabelle 6 (Fortsetzung).

	$A = B = \frac{pl}{4} \quad Q_1 = \frac{pl}{8}$ $Q_1 = \frac{pl}{8} [1 + (1 - 4\xi)^2] \quad Q_2 = \frac{pl}{8} [1 - (1 - 4\xi)^2]$ $M_I = \frac{pl^2}{24} \quad M_{II} = \frac{pl^2}{16}$ $M_{\frac{1}{2}} = \frac{pl^2}{96} [4 - 3(1 - 4\xi) \mp (1 - 4\xi)^3]$ $x_0 = \frac{l}{2} \quad M_{\max} = M_{II}$
	$R = \frac{p_1 c_1^2 - p_2 c_2^2}{6l} = -Q_I \quad A = \frac{p_1 c_1}{2} - R \quad B = \frac{p_2 c_2}{2} + R$ $Q_1 = A - \frac{p_1 c_1}{2} \left( \frac{x}{c_1} + \omega_R^{(c_1)} \right) \quad Q_2 = -B + \frac{p_2 c_2}{2} \left( \frac{x'}{c_2} + \omega_R^{(c_2)} \right)$ $M_I = \frac{c_1 c_2}{6l} (p_1 c_1 + p_2 c_2); \quad M_I = M_I \frac{x}{c_1} + \frac{p_1 c_1^2}{6} \omega_D^{(c_1)}; \quad M_2 = M_I \frac{x'}{c_2} + \frac{p_2 c_2^2}{6} \omega_D^{(c_2)}$ $R > 0: \quad x_0 = c_1 - \sqrt{\frac{2Rc_1}{p_1}} \quad M_{\max} = M_I + \frac{2}{3} R \sqrt{\frac{2Rc_1}{p_1}}$ $R < 0: \quad x'_0 = c_2 - \sqrt{\frac{-2Rc_2}{p_2}} \quad M'_{\max} = M_I - \frac{2}{3} R \sqrt{\frac{-2Rc_2}{p_2}}$
	$A = B = \frac{pl}{4} \quad Q_1 = \frac{pl}{4} (1 - 2\xi)^2$ $M_I = \frac{pl^2}{24} \quad M_{II} = \frac{pl^2}{24} [1 - (1 - 2\xi)^3]$ $x_0 = \frac{l}{2} \quad M_{\max} = M_I$
	$A = B = \frac{pc}{2} \quad Q_1 = \frac{pc}{2} \left( \frac{c-x}{c} \right)^2$ $M_I = \frac{pc^2}{6} \quad M_{II} = \frac{pc^2}{6} \left( 1 - \left( \frac{c-x}{c} \right)^3 \right)$ $c \leq x_0 \leq c + m \quad M_{\max} = M_I$
	$A = -\frac{M_a}{l} \quad B = +\frac{M_a}{l} \quad Q = -\frac{M_a}{l}$ $M = +M_a \xi'$ $x_0 = 0 \quad M_{\max} = +M_a$

Tabelle 6 (Fortsetzung).

	$A = -\frac{M_a + M_b}{l} \quad B = +\frac{M_a + M_b}{l} \quad Q = -\frac{M_a + M_b}{l}$ $M = M_a \xi' - M_b \xi$ $M_a > M_b: \quad x_0 = 0 \quad M_{\max} = +M_a$ $M_a < M_b: \quad x_0 = l \quad M'_{\max} = -M_b$
	$A = -\frac{M_c - M_d}{l} \quad B = +\frac{M_c - M_d}{l} \quad Q = -\frac{M_c - M_d}{l}$ $M_1 = -(M_c - M_d) \xi; \quad M_2 = +M_c \xi' + M_d \xi; \quad M_3 = +(M_c - M_d) \xi'$ $x_0 = m \text{ für } M_c > M_d$ $M_{\max} = -(M_c - M_d) \frac{m}{l} \quad \text{oder} \quad M_{\max} = M_c - (M_c - M_d) \frac{m}{l}$

Tabelle 7. Freitragler.

l: Länge,  $\xi = x/l$ ; C: Stützkraft;  $M_c$ : Einspannmoment;  $Q_m$ : Querkraft;  $M_m$ : Biegemoment im Querschnitt m;  $x_0$ : Querschnitt mit dem größten Biegemoment  $M_{\max}$ .

	$C = \sum_1^n P_k \quad M_c = + \sum_1^n P_k b_k$ $Q_m = - \sum_1^{m-1} P_k = Q_{m-1} - P_{m-1}$ $M_m = - \sum_1^{m-1} P_k (b_k - x'_m) = M_{m-1} + Q_m c_m$ $x_0 = l \quad M_{\max} = -M_c$
	$C = pl \quad M_c = \frac{pl^2}{2} \quad Q = -px$ $M = -\frac{px^2}{2}$ $x_0 = l \quad M_{\max} = -\frac{pl^2}{2}$
	$C = pc \quad M_c = \frac{pc}{2}(l+n) \quad Q_1 = -px \quad Q_2 = -pc$ $M_1 = -\frac{px^2}{2} \quad M_2 = -\frac{pc^2}{2} \quad M_3 = -\frac{pc^2}{2} \left(\frac{2x}{c} - 1\right)$ $x_0 = l \quad M_{\max} = -\frac{pc}{2}(l+n)$

Tabelle 7 (Fortsetzung).

	$C = \frac{p l}{2} \quad M_c = \frac{p l^2}{6} \quad Q = -\frac{p l}{2} \xi^2$ $M = -\frac{p l^2}{6} \xi^3$ $x_0 = l \quad M_{\max} = -\frac{p l^2}{6}$
	$C = \frac{p l}{2} \quad M_c = \frac{p l^2}{3} \quad Q = -\frac{p l}{2} (2 \xi - \xi^2)$ $M = -\frac{p l^2}{6} (3 \xi^2 - \xi^3)$ $x_0 = l \quad M_{\max} = -\frac{p l^2}{3}$
	$C = (p_1 + p_2) \frac{l}{2} \quad M_c = (2 p_1 + p_2) \frac{l^2}{6}$ $Q = -\frac{l}{2} [2 p_1 \xi + (p_2 - p_1) \xi^2]$ $M = -\frac{l^2}{6} [3 p_1 \xi^2 + (p_2 - p_1) \xi^3]$ $x_0 = l \quad M_{\max} = -(2 p_1 + p_2) \frac{l^2}{6}$
	$C = \frac{p c}{2} \quad M_c = \frac{p c}{6} (l + 2 n)$ $Q_1 = -\frac{p}{2 c} x^2 \quad Q_2 = -\frac{p c}{2}$ $M_1 = -\frac{p}{6 c} x^3 \quad M_I = -\frac{p c^2}{6} \quad M_2 = +\frac{p c^2}{6} \left(2 - 3 \frac{x}{c}\right)$ $x_0 = l \quad M_{\max} = -\frac{p c}{6} (l + 2 n)$
	$C = \frac{p c}{2} \quad M_c = \frac{p c}{6} (2 l + n)$ $Q_1 = -\frac{p c}{2} \left(2 \frac{x}{c} - \frac{x^2}{c^2}\right) \quad Q_2 = -\frac{p c}{2}$ $M_1 = -\frac{p c^2}{6} \left(3 \frac{x^2}{c^2} - \frac{x^3}{c^3}\right)$ $M_I = -\frac{p c^2}{3} \quad M_2 = -\frac{p c^2}{6} \left(3 \frac{x}{c} - 1\right)$ $x_0 = l \quad M_{\max} = -\frac{p c}{6} (2 l + n)$

Tabelle 7 (Fortsetzung).

	$C = \frac{pl}{2} \quad M_c = \frac{pl^2}{4}$ $Q_1 = -\frac{pl}{4} \quad Q_1 = -pl\xi^2; \quad Q_2 = -\frac{pl}{4}(2\xi + \omega_R^{(c)})$ $M_1 = -\frac{pl^2}{3}\xi^3 \quad M_1 = -\frac{pl^2}{24} \quad M_2 = -\frac{pl^2}{24}(10\xi - 4 - \omega_D^{(c)})$ $x_0 = l \quad M_{\max} = -\frac{pl^2}{4}$
	$C = \frac{pl}{3} \quad M_c = \frac{pl^2}{12} \quad Q = -\frac{pl}{3}\xi^3$ $M = -\frac{pl^2}{12}\xi^4$ $x_0 = l \quad M_{\max} = -\frac{pl^2}{12}$
	$C = \frac{2}{3}pl \quad M_c = \frac{pl^2}{4} \quad Q = -\frac{pl}{3}(3\xi^2 - \xi^3)$ $M = -\frac{pl^2}{12}(4\xi^3 - \xi^4)$ $x_0 = l \quad M_{\max} = -\frac{pl^2}{4}$
	$C = \frac{2}{3}pl \quad M_c = \frac{pl^2}{3} \quad Q = -\frac{2}{3}pl(3\xi^2 - 2\xi^3)$ $M = -\frac{pl^2}{3}(2\xi^3 - \xi^4)$ $x_0 = l \quad M_{\max} = -\frac{pl^2}{3}$
	$C = 0 \quad M_c = M_d + M_e \quad Q = 0$ $M_1 = -M_d \quad M_2 = -(M_d + M_e)$ $x_0 = (l - n) \text{ bis } l \quad M_{\max} = -(M_d + M_e)$